

بررسی اثر انسو (ENSO) بر توزیع بارش فصلی ایران در دوره ۱۹۷۱-۲۰۰۰

فرهنگ احمدی گیوی^{۱*}، داود پرهیزکار^۲ و سهراب حجام^۳

^۱ استادیار، گروه فیزیک فضا، مؤسسه ژئوفیزیک، دانشگاه تهران، ایران

^۲ دانشجوی دکتری هواشناسی، دانشگاه آزاد اسلامی، واحد علوم و تحقیقات، تهران، ایران

^۳ دانشیار، دانشگاه آزاد اسلامی، واحد علوم و تحقیقات، تهران، ایران

(دریافت: ۸۷/۵/۵، پذیرش نهایی: ۸۷/۱۱/۵)

چکیده

بررسی توزیع بارش فصلی کشور در دهه اخیر، با استفاده از اطلاعات سازمان هواشناسی کشور، نشان از تغییر آن از نظر شدت و بسامد وقوع، نسبت به میانگین بلندمدت سی ساله ۱۹۷۱-۲۰۰۰ دارد. در این مقاله اثر احتمالی ارتباط از دور انسو بر بارش‌های فصلی ایران در این دوره بررسی شده است. داده‌های بارش تجمعی ماهانه و فصلی برای ۴۳ ایستگاه همدیدی از سازمان هواشناسی کشور و داده‌های مربوط به سال‌های فعالیت انسو در فازهای گرم و سرد از مرکز نوا (NOAA) تهیه شده‌اند. ابتدا شش نمونه از شدیدترین سال‌های فعالیت انسو در دوره سی ساله، سه لاتینیا، انتخاب و سپس بررسی توزیع بی‌هنجاری بارش فصلی کشور در این فازها (برحسب سال‌های خورشیدی و آبی) صورت گرفته است. به علاوه، ارتباط بین بی‌هنجاری بارش فصلی کل کشور و شاخص نینوی اقیانوسی (هم از نظر علامت و هم از نظر شدت) در این فازها و همچنین میزان همبستگی بین شاخص نینوی اقیانوسی و بارش فصلی ۴۳ ایستگاه همدیدی کشور در دوره سی ساله، مورد بررسی قرار گرفته است.

نتایج بررسی توزیع بی‌هنجاری بارش فصلی کشور در فازهای متفاوت فعالیت انسو، نشان می‌دهد که در هیچ‌یک از فازها، توزیع بارش فصلی از الگو و روندی خاص تعیت نمی‌کند. مقایسه بی‌هنجاری‌های بارش فصلی کل کشور و شاخص نینوی اقیانوسی نیز حاکی از آن است که هم علامت و هم شدت بی‌هنجاری‌های بارش در هریک از فازها متفاوت بوده و در سال‌های لاتینیا (یا لاتینی) بررسی شده، هم بی‌هنجاری بارش فصلی مثبت و هم بی‌هنجاری منفی بارش وجود دارد. مقادیر ضرایب همبستگی ضعیف بین شاخص نینوی اقیانوسی و بارش فصلی ۴۳ ایستگاه کشور در دوره سی ساله نیز نتایج فوق را تایید می‌کند. نتیجه مهم آنکه فقط با تعیین فاز انسو نمی‌توان بی‌هنجاری بارش فصلی، چه از نظر علامت و چه شدت، را پیش‌بینی کرد. علت احتمالی می‌تواند مردوبه به برهم‌کنش پیچیده و غیر خطی اثر انسو با دیگر پدیده‌های بزرگ‌مقیاس جوی و اقیانوسی مانند نوسان اطلس شمالی، نوسان مادن- جولین و مانسون باشد.

واژه‌های کلیدی: انسو، ارتباط از دور، لاتینیا، بی‌هنجاری بارش فصلی، شاخص نینوی اقیانوسی

The study of the ENSO's effect on the seasonal precipitation of Iran in the period 1971-2000

Ahmadi-Givi, F.¹, Parhizkar, D.² and Hajjam, S.³

¹Assistant Professor, Space Physics Department, Institute of Geophysics, University of Tehran, Iran

²Ph. D. Student of Meteorology, Islamic Azad University, Research and Science Branch, Tehran, Iran

³Associate Professor, Islamic Azad University, Research and Science Branch, Tehran, Iran

(Received: 26 July 2008, Accepted: 24 Jan 2009)

Abstract

An analysis of seasonal rainfall over Iran for a period of 30 years (1971-2000) shows a significant variability in spatial and temporal distributions of rainfall as well as its

frequency and intensity. In this paper, the likely effects of ENSO on the rainfall anomalies are investigated. The accumulated monthly and seasonal rainfalls from 43 synoptic stations are taken through the Islamic Republic of Iran Meteorology Organization (IRIMO) and the ENSO activity years are obtained from NOAA. Three cases of strong cold phase (La-Nina) and three cases of strong warm phase (El-Nino) of ENSO in the period of this study have been selected. Then, the distribution of seasonal rainfall anomalies for these cases is studied. Also, the relation between the seasonal rainfall anomalies and Oceanic Nino Index (ONI), from the sign and magnitude view point, for the selected cases is examined. These investigations have been done for both solar and agriculture (from autumn of one year to the next) years. In addition, the correlation between the ONI and the seasonal rainfall of the 43 stations for the total 30 year period at study is calculated.

The results of the distribution of seasonal rainfall anomalies for the above cases indicate that there is no certain relation between the rainfall anomalies over Iran and the different phases of ENSO activity. The comparison of total seasonal rainfall anomalies over Iran and the ONI anomalies shows that the signs and magnitudes of anomalies in all the cases are significantly inconsistent. For example, both positive and negative seasonal rainfall anomalies exist in the El-Nino years. The weak correlation between the ONI and the seasonal rainfall of the 43 stations for the period of 30 years confirms the above results.

The key result is that it is not possible to predict the sign and magnitude of seasonal rainfall anomalies having the phase of ENSO activity. The possible reason being that ENSO has a complex and nonlinear interaction with other phenomena such as monsoon, North Atlantic Oscillation (NAO), and Madden-Julian Oscillation (MJO).

Key words: ENSO, El-Nino, La-Nina, annual rainfall anomalies, Oceanic Nino Index

۱ مقدمه

دوره ۱۹۵۱-۱۹۷۱ ارتباط بین انسو و بارش اندونزی و همچنین دمای سطحی دریا و بی‌亨جاری‌های گردش را بررسی کرده است. براساس نتایج او، بی‌亨جاری‌های بارش فصل خشک از نظر فضایی همدوس است و به شدت با دمای سطحی دریا و فاز گرم انسو (الینیو) همبستگی دارد. شرایط خشک‌سالی به طور معمول در اثنای الینیو رخ داده و در این فاز، دمای سطحی آب اطراف اندونزی خنک و گردش واکر نیز ضعیف‌تر است. عکس این روند در فاز سرد انسو صورت می‌گیرد، به‌گونه‌ای که از نظر فضایی بارش ناهمدوس است و همبستگی با دمای سطحی آب وجود ندارد. ونگ و هندن (۲۰۰۷) روشن ساختند که در وقوع الینیو قوی (۱۹۹۷) بارش فصل بهار در دو سوم از شرق استرالیا در حد نرمال بوده، در حالی که همراه با الینیو متوسط ۲۰۰۲ شرایط

انسو پدیده بزرگ‌مقیاس جویی- اقیانوسی است که در اقیانوس آرام حاره‌ای به وقوع می‌پیوندد. این پدیده که دارای فازهای گرم (الینیو) و سرد (لانینا) است، می‌تواند با سازوکار ارتباط از دور بر کمیت‌های جویی سایر نقاط جهان از قبیل دما، جریان‌ها و گردش‌های محلی و همچنین بارش اثرات متفاوت داشته باشد (برای مثال: راسموسن و کارپنتر، ۱۹۸۲؛ دسر و والاس، ۱۹۹۰؛ نیکل، ۱۹۹۷؛ چمبرز و همکاران، ۱۹۹۹؛ روول، ۲۰۰۱؛ انلو و همکاران، ۲۰۰۴؛ پاور و همکاران، ۲۰۰۶؛ لیم و کیم، ۲۰۰۷؛ اسمیت و همکاران، ۲۰۰۷؛ ونگ و هندن، ۲۰۰۷). برای نمونه، تارتا گلیون و همکاران (۲۰۰۳) روشن ساخته‌اند که الینیو سبب تضعیف فعالیت هاریکن و بارش همراه آن در اقیانوس اطلس و دریای کارائیب و لانینا سبب تقویت آن می‌شود. هندن (۲۰۰۳) با استفاده از داده‌های مشاهداتی در

در ایران نیز پژوهش‌هایی در ارتباط با اثر انسو و کمیت‌های اقلیمی دما و بهویژه بارش در نقاط گوناگون کشور صورت گرفته است. این پژوهش‌ها عمدهاً به بررسی همبستگی‌های آماری بین بارش نقاط مورد نظر با شاخص‌های انسو پرداخته‌اند و نتایج آنها در بسیاری موارد، همبستگی‌های معنی‌دار نشان می‌دهد. برای مثال، نتایج پژوهش قوی دل رحیمی (۱۳۸۴)، حاکی از آن است که رخداد النینو (لانینا) باعث افزایش (کاهش) بارش فصل بهار در آذربایجان شرقی می‌شود. غیور و خسروی ایران در فصل پاییز، در اثنای فاز گرم انسو (النینو) به طور معنی‌داری بیشتر از شرایط عادی و فاز سرد آن (لانینا) است. به عکس در فصل تابستان، رخداد النینو شرایط خشک و لانینا شرایط پریاران و مرطوب‌تر از معمول در منطقه مورد بررسی، به همراه دارد.

ناظم‌السادات و کوردری (۲۰۰۰a, b) با بررسی اثر انسو در بارش‌های فصل سرد (پاییز و زمستان) ایران، افزایش بارش پاییزی در اثنای النینو شناسایی کرده‌اند. مقدار میانگین همبستگی‌های متولی محاسبه شده در کار آنها بین شاخص نوسان جنوبی (SOI) و بارش فصل پاییز حدود منهای 2° است. بیشترین مقدار این همبستگی در شمال‌غرب و مناطق مرکزی به منهای 4° و در مجاورت دریای خزر به منهای 4° می‌رسد. این همبستگی با زمان، بهویژه در دوره‌های قبل، ناپایدار است. با ورود به زمستان، نشانه النینو ضعیف می‌شود و بارش زمستانی کمتر از معمول در سواحل غربی دریای خزر در زمان النینو رخ می‌دهد. براساس نتایج آنها، همبستگی قوی‌تری در لانینا نسبت به النینو در مقیاس دهه‌ای دیده می‌شود. در پژوهشی دیگر، ناظم‌السادات (۱۳۸۵) با بررسی تاثیر انسو بر آب‌دهی پنج رودخانه در استان فارس به این نتیجه رسیده است که احتمال وقوع خشک‌سالی (ترسالی) در دوره النینو کمتر (بیشتر) و در دوره لانینا بیشتر (کمتر) از دوره

به نسبت خشک وجود داشته است.

کادیو گلو و همکاران (۱۹۹۹) رابطه مثبت و ضعیفی بین بارش ماه دسامبر ترکیه و النینو به دست آورده‌اند که از نظر مکانی ناممکن است. در اثنای وقوع النینو، در شمال‌غرب ترکیه افزایش بارش و در مناطق مرکزی و شرق آن کاهش بارش دیده می‌شود. به علاوه آنها روشن ساخته‌اند که این ارتباط از نظر زمانی نیز متغیر است، به گونه‌ای که در دوره ۱۹۶۰-۱۹۶۱ همبستگی منفی و در دوره ۱۹۹۰-۱۹۹۱ همبستگی مثبت بین بارش و رخداد النینو به چشم می‌خورد. پاگانو و همکاران (۲۰۰۳) در مرور اقلیم‌شناسی-آب‌شناسی خاورمیانه و ارتباط از دور فصلی، نتیجه گرفته‌اند که وقوع النینو، نشانه‌ای از ایجاد وضعیت جوی مرطوب‌تر از شرایط نرمال در فصل‌های پاییز و زمستان در منطقه خاورمیانه است. البته این نشانه از نظر زمانی ناپایدار و دارای تغییرات دهه‌ای قابل توجهی است. آنها با بررسی و مقایسه پژوهش‌های صورت گرفته در این زمینه اظهار می‌دارند که نه توافقی عام درباره آغاز و پایان کلی این دوره‌های اقلیمی و نه توصیفی از دلایل فیزیکی این تغییر پذیری دهه‌ای وجود دارد. نتایج حاکی از آن است که نشانه میان‌سالانه النینو در خاورمیانه ممکن است گذرا و پیش‌بینی آن دشوار باشد.

لیم و کیم (۲۰۰۷) با بررسی اثرات انسو بر تحولات فضایی و زمانی بارش و کمیت‌های همدیدی مرتبط با مانسون تابستانی آسیایی به این نتیجه رسیده‌اند که مانسون به شکل پیچیده‌ای به فازهای متفاوت انسو پاسخ می‌دهد. این پاسخ به عواملی چون مرحله مانسون (آغازین یا بلوغ)، بی‌亨جاری گردش واکر، بی‌هنجاری گردش هادلی و فشار سطحی دریا در غرب اقیانوس آرام بستگی دارد. طبق نتایج آنها، بی‌هنجاری بارش مشاهده شده همراه با مانسون تابستانی آسیایی را نمی‌توان فقط متأثر از فازهای متفاوت انسو در نظر گرفت، بلکه این پذیرده، با دیگر عوامل جوی و اقیانوسی ارتباط دارد.

[http://www.cpc.ncep.noaa.gov /products/analysis](http://www.cpc.ncep.noaa.gov/products/analysis)) شش نمونه (monitoring/ensostuff/ensoyears.shtml) از سال‌های فعالیت انسو در فازهای متفاوت گرم و سرد در طی دوره ۱۹۷۱-۲۰۰۰ انتخاب شده که مشخصات آنها در جدول ۱ آمده است. فازهای گرم و سرد انسو براساس میزان افزایش شاخص نینوی اقیانوسی (ONI) از مقدار آستانه 5 ± 0.5 درجه سلسیوس تعیین می‌شود (پایگاه اینترنتی نوآ). مقدار این شاخص با تفاضل مقدار میانگین دوره سی‌ساله دمای سطح دریا (SST) در منطقه نینو ۴-۳، از میانگین متحرک سه‌ماهه آن به دست می‌آید. منطقه نینو ۴-۳ بین عرض‌های جغرافیایی ۵ درجه جنوبی تا ۵ درجه شمالی و طول‌های جغرافیایی ۱۲۰ تا ۱۷۰ درجه غربی قرار دارد.

نمونه‌های انتخاب شده فازهای گرم و سرد، دارای بیشترین بی‌هنجری‌ها (بیش از ۱۵ درجه سلسیوس) بوده‌اند. به عبارت دیگر قویترین النینو و لانینهای موجود در دوره، انتخاب شده است. انتخاب این فازها با توجه به رخداد پی‌درپی نوعی بی‌هنجری، دست کم برای پنج ماه متولی است. فاز خنثی به شرایطی گفته می‌شود که مقدار شاخص نینوی اقیانوسی بین منهای 5° تا 5° درجه سلسیوس در نوسان باشد.

جدول ۱. سال‌های انسوی انتخابی در دوره ۱۹۷۱-۲۰۰۰.

ردیف	سال	فاز گرم (النینو)	فاز سرد (لانینا)
۱	۱۹۷۲	*	
۲	۱۹۷۳		*
۳	۱۹۷۵	*	
۴	۱۹۸۲		*
۵	۱۹۸۸	*	
۶	۱۹۹۷		*

۳-۲ روش کار

در این بررسی، ابتدا مقدار هنجر (میانگین سی‌ساله) بارش

هنجر (فاز خنثی) است.

به طور کلی براساس نتایج فوق، انتظار می‌رود که فازهای متفاوت فعالیت انسو در توزیع بارش فصلی ایران اثر داشته باشد. البته باید توجه داشت، از آنجا که انسو پدیده‌ای در مقیاس سیارهای و بارش پدیده‌ای در مقیاس بسیار کوچک‌تر و متأثر از عوامل گوناگون، مانند عوامل محلی است، باید در تحلیل نتایج حاصل از بررسی همبستگی‌های آماری بسیار دقت کرد. در این راستا، مقاله حاضر به بررسی توزیع بی‌هنجری بارش فصلی ایران در شش مورد از سال‌های فعالیت شدید انسو در دوره سی‌ساله به صورت فازهای گرم و سرد می‌پردازد. لازم به ذکر است که این مقاله به عرضه نتایج بررسی آماری یک پژوهش جامع در ارتباط با عنوان مقاله اختصاص دارد. نتایج مرحله بعدی پژوهش که به بررسی چگونگی ارتباط انسو با توزیع بارش فصلی کشور از دیدگاه‌های همدیدی، دینامیکی و اقلیمی مربوط است، در مقاله دیگر مطرح خواهد شد.

۲ داده‌ها و روش کار

۱-۲ داده‌های بارش

در این بررسی، دوره سی‌ساله از سال ۱۹۷۱ تا ۲۰۰۰ میلادی در حکم مبنای تحقیق انتخاب شده است. داده‌های مورد نیاز از پایگاه اینترنتی سازمان هوافضای ایران کشور به دست آمده است. این داده‌ها شامل بارش تجمعی ماهانه ۴۳ ایستگاه همدیدی کشور است که از سال ۱۹۷۱ آمار داشته‌اند. از این ۴۳ ایستگاه، ۲۷ ایستگاه دارای آمار کامل سی‌ساله بوده‌اند و ۱۶ ایستگاه دیگر کمبودهای آماری متفاوت داشته‌اند که با استفاده از نرم‌افزار CurveExpert داده‌های آنها بازسازی و تکمیل شده است.

۲-۲ انتخاب فازهای متفاوت انسو

با استفاده از پایگاه اینترنتی نوآ (NOAA)

فصل بیشتر از ۴۰ درصد و در نیمه شرقی کشور کمتر از ۲۰ درصد بارش سالانه است. در سواحل دریای خزر و استان خوزستان، سهم بارش پاییزی بیش از ۴۰ درصد است که بیشترین سهم در سطح کشور است. سهم بارش این فصل در شمال غرب کشور ۲۰ تا ۳۰ درصد از بارش سالانه است که نسبت به جنوب غرب بسیار کمتر است. با توجه به سهم بارش‌های زمستانی از بارش سالانه در شکل ۱-ب، دیده می‌شود که در نیمه جنوبی کشور، بیش از ۵۰ درصد بارش سالانه در فصل زمستان رخ داده است؛ در حالی که بارش این فصل در نوار شمالی کشور، بهویژه شمال غرب، کمتر از ۳۰ درصد میزان سالانه است. مناطق جنوب و جنوب شرق کشور با دریافت بیش از ۶۵ درصد بارش سالانه در این فصل، دارای بیشترین بارش فصلی در است و این سهم بیش از دو برابر سهم بارش فصلی در شمال غرب کشور است.

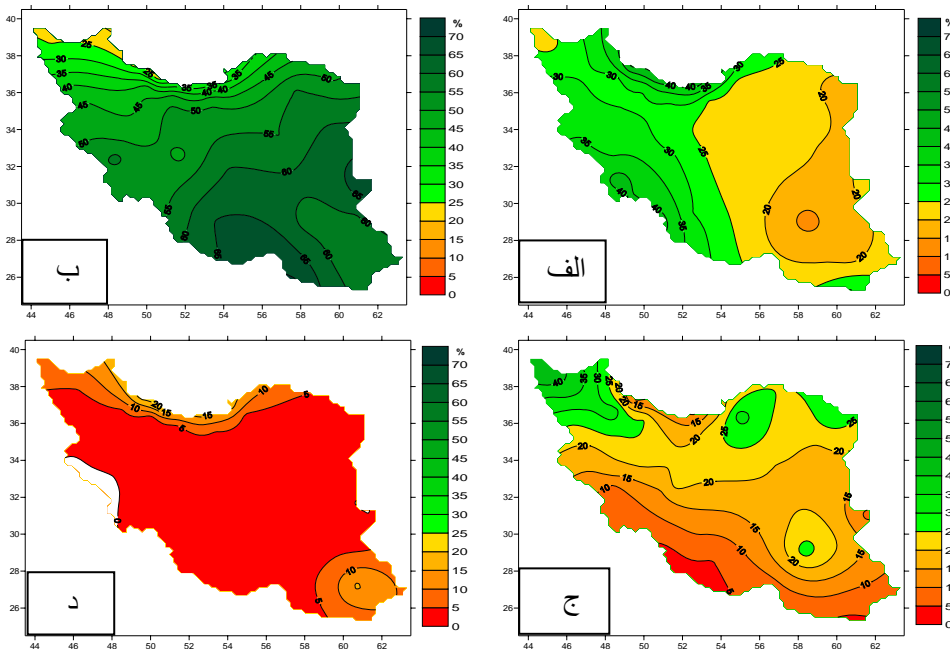
در فصل بهار (شکل ۱-ج)، بیشترین سهم بارش فصلی از بارش سالانه در مناطق گوناگون کشور مربوط به شمال غرب با میزان بیش از ۴۰ درصد است. در حالی که

فصلی هر ایستگاه، در دوره ۱۹۷۱-۲۰۰۰ محاسبه شده، سپس بی‌هنجری آن در سال‌های انسو انتخابی به دست آمده است. این کار هم برای سال‌های خورشیدی و هم سال‌های آبی صورت گرفته است. از آنجا که بارش، کمیتی گسسته است و از نقطه‌ای به نقطه دیگر می‌تواند دارای تغییرات بسیار باشد، برای مقایسه بی‌هنجری‌ها با یکدیگر، بهجای خود بی‌هنجری‌ها از مقدار بی‌بعد شده آنها استفاده شده است. در ادامه، تغییرات شاخص نیوی اقیانوسی و بارش فصلی کل کشور در نموداری مقایسه و مورد بررسی قرار گرفته است. همچنین میزان همبستگی بین دمای سطح آب در اقیانوس آرام حاره‌ای و بارش فصلی ایران در دوره پیش‌گفته نیز محاسبه و تحلیل شده است.

۳ نتایج

۱-۳ وضعیت هنجر

شکل ۱-الف نشان‌دهنده سهم بارش‌های پاییزی ایران از بارش سالانه آن است. در نیمه غربی کشور، سهم این



شکل ۱. توزیع بارش فصلی بهصورت درصد از بارش سالانه: (الف) پاییز، (ب) بهار، (ج) زمستان، (د) تابستان.

الف) فاز گرم انسو (سال‌های النینو)

شکل ۲ بی‌هنگاری بارش فصل زمستان در مناطق گوناگون کشور در سال‌های ۱۹۷۲، ۱۹۸۲ و ۱۹۹۷ که قوی‌ترین النینوها حضور داشته‌اند را نشان می‌دهد. با توجه به شکل، در سال‌های ۱۹۷۲ و ۱۹۸۲ تقریباً همه بخش‌های کشور از بارش فصلی در حد هنگار و یا بیشتر برخوردار بوده‌اند. این درحالی است که در ۱۹۹۷، خشکی فصلی گسترده‌ای در مرکز، شمال، شمال شرق و شرق کشور اتفاق افتاده است. نکته مشترک در بارش فصل زمستان این سه سال، آن است که در نوار جنوبی کشور بارش بیش از مقدار هنگار بوده است.

در شکل ۳ بی‌هنگاری بارش فصلی برای بهار سال‌های النینو شدید نشان داده شده است. در بهار ۱۹۷۲، تقریباً در همه نقاط کشور بارش در حد هنگار یا بیش از آن رخ داده است؛ حال آنکه در سال‌های ۱۹۸۲ و ۱۹۹۷، بخش‌های زیادی از کشور دچار کم‌بارشی بوده‌اند. نکته قابل توجه آن است که در این فصل از سه سال فوق، نه فقط الگوی توزیع بارش در نقاط گوناگون کشور مشابه یکدیگر نیستند، بلکه در سال‌های ۱۹۸۲ و ۱۹۹۷ توزیع تقریباً متضادی دیده می‌شود.

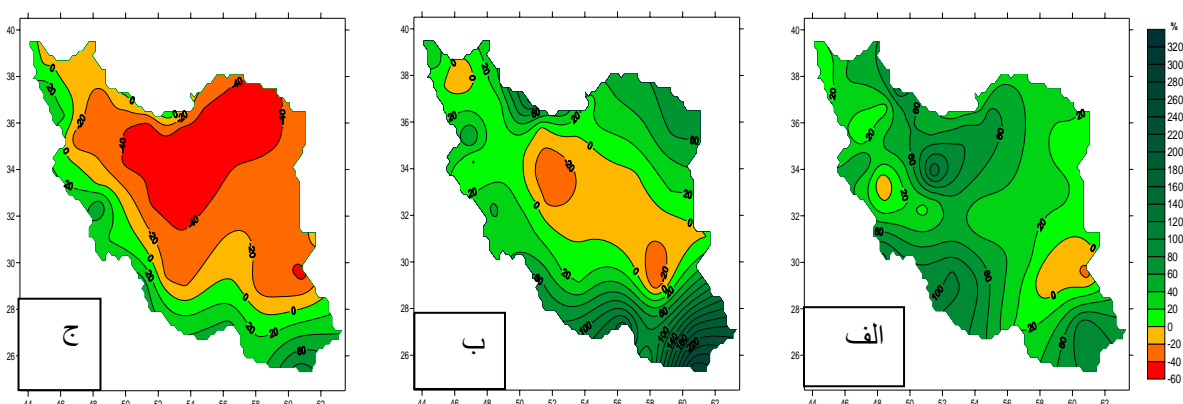
در جنوب غرب کشور این سهم کمتر از ۵ درصد است. به طور کلی، نیمه جنوبی کشور کمترین و نیمه شمالی بیشترین سهم بارش این فصل از مقدار سالانه را دارد. نکته قابل توجه، سهم اندک در سواحل دریای خزر است که در بعضی نقاط کمتر از ۱۵ درصد است.

مطابق شکل ۱-د که مربوط به سهم بارش‌های تابستانی از بارش سالانه است، سهم بارش فصلی در بیشتر مناطق کشور کمتر از ۵ درصد است. در جنوب شرق کشور این سهم بیش از ۱۰ درصد و در سواحل دریای خزر بیش از ۲۰ درصد است. نکته حائز اهمیت، سهم بارش‌های تابستانی در جنوب شرق کشور است که به خوبی آشکار است.

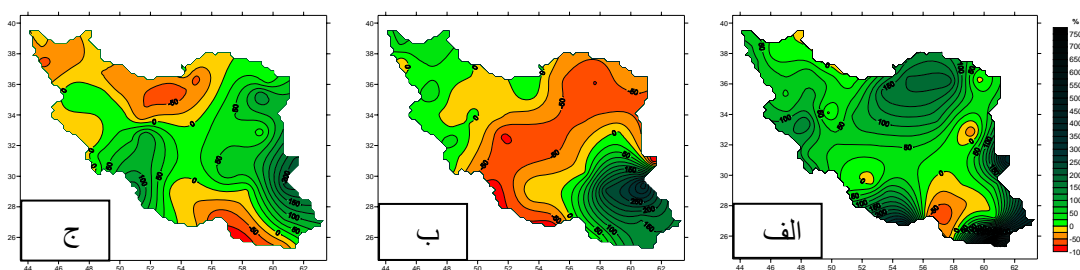
۲-۳ وضعیت بی‌هنگار

از آنجا که معمولاً موضوع خشکسالی و ترسالی مناطق کشور در طی یک سال آبی در نظر گرفته می‌شود، در این بخش، نتایج بررسی برای سال خورشیدی و سال آبی (پاییز یک سال تا پاییز سال دیگر) به طور جداگانه عرضه و با یکدیگر مقایسه می‌شود.

۱-۲-۳ سال خورشیدی



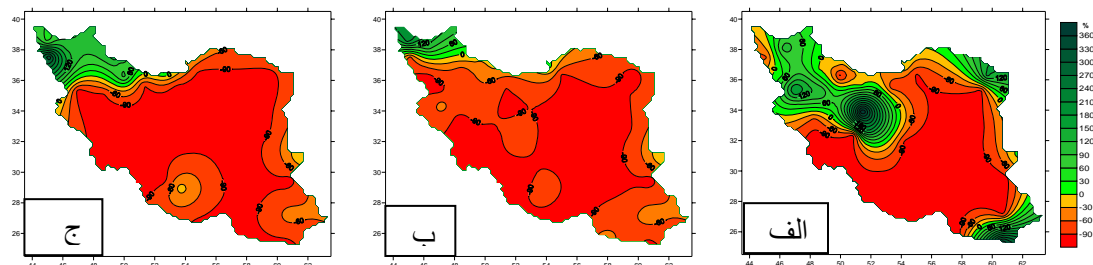
شکل ۲. بی‌هنگاری بارش فصل زمستان در مناطق گوناگون کشور در سال‌های: (الف) ۱۹۷۲، (ب) ۱۹۸۲ و (ج) ۱۹۹۷.



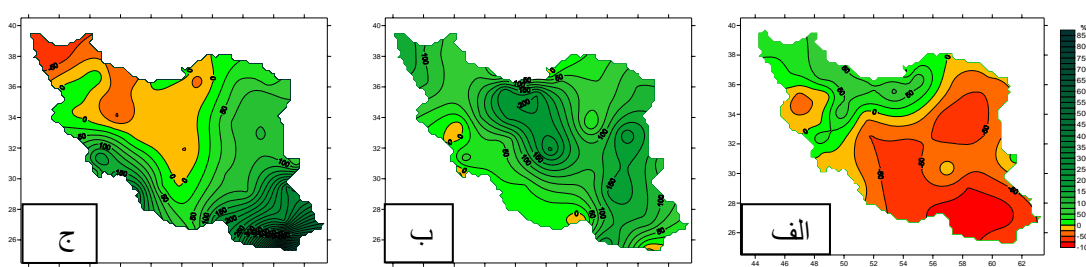
شکل ۳. مشابه شکل ۲ ولی برای فصل بهار.

در شکل ۵ بی‌هنگاری بارش در فصل پاییز برای سال‌های النینوی شدید نشان داده شده است. مطابق شکل، بارش پاییزی در ۱۹۸۲ تقریباً در بیشتر نقاط کشور بیش از ۱۹۷۲ حد هنگار رخ داده است، در حالی که در سال‌های ۱۹۷۲ و ۱۹۹۷ بخش‌های قابل توجهی از کشور دچار کم‌بارشی بوده‌اند. نکته حائز اهمیت در این شکل، تفاوت عمدی در توزیع بارش در سال‌های ۱۹۷۲ و ۱۹۹۷ است. با توجه به شکل‌های ۲ و ۵ مشاهده می‌شود که توزیع بارش در فصل‌های زمستان و پاییز سه سال مورد بررسی، به ویژه در سال‌های ۱۹۷۲ و ۱۹۷۷، بسیار متفاوت بوده است و با نتایج نظام السادات و کوردری (b, ۲۰۰۰a) همخوانی ندارد.

همان‌طور که در شکل ۱ مشاهده می‌شود، بارش‌های تابستانی در مناطق گوناگون کشور، به استثنای سواحل دریای خزر و جنوب شرق، سهم بسیار کوچکی در بارش سالانه دارند. از این رو ممکن است چندان حائز اهمیت نباشد. بی‌هنگاری بارش فصل تابستان برای سال‌های النینوی مورد نظر در شکل ۴ آورده شده است. مقایسه بی‌هنگاری بارش فصلی در این سه سال، تفاوت‌هایی را در توزیع نشان می‌دهد که مهم‌ترین آن مربوط به بارش‌های جنوب شرق کشور است که در ۱۹۷۲، بارش فصلی بیش از حد هنگار و در دو سال دیگر، کمتر از مقدار هنگار است. در شمال غرب کشور، تقریباً توزیع همگنی اتفاق افتاده است.



شکل ۴. مشابه شکل ۲ ولی برای فصل تابستان.



شکل ۵. مشابه شکل ۳ ولی برای فصل پاییز.

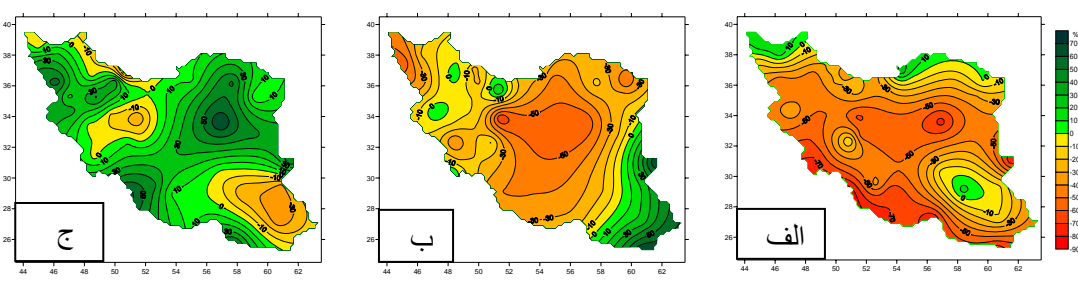
نقاط گوناگون کشور برای سال‌های لانینای مورد بررسی را نشان می‌دهد. مطابق شکل، کمبارشی فصل بهار ۱۹۷۳ شدیدتر از دو سال دیگر است. در ۱۹۷۵ پربارشی در بیشتر نقاط کشور رخ داده و در ۱۹۸۸، کمبارشی و پربارشی توام بوده است.

در شکل ۸ توزیع بی‌هنجری بارش فصلی تابستان برای سال‌های لانینای شدید آورده شده است. در مقایسه شکل‌های مربوط به سه سال متفاوت نیز الگوی مشابهی دیده نمی‌شود. تنها نکته قابل ملاحظه، شدت پربارشی در نقاط گوناگون کشور است که در هر سه سال بسیار شدید است. البته باید توجه داشت همان‌طور که در قبل ذکر شد، سهم بارش تابستانی از بارش سالانه بسیار کم است.

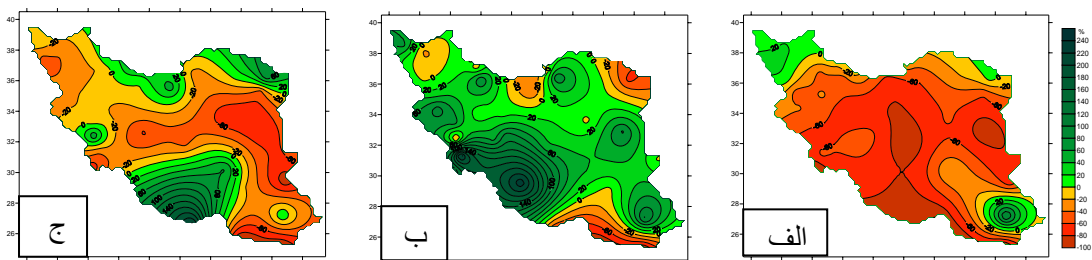
ب) فاز سرد انسو (سال‌های لانینا)

بی‌هنجری بارش در فصل زمستان برای سال‌های ۱۹۷۳، ۱۹۷۵ و ۱۹۸۸ که قوی‌ترین لانیناها در دوره مورد بررسی در آنها رخ داده است، در شکل ۶ آورده شده است. نکته مهم در بی‌هنجری بارش فصلی در این سه سال، نبود الگوی مشابه از توزیع بی‌هنجری‌ها است. با توجه به شکل، در سال‌های ۱۹۷۳ و ۱۹۷۵ بخش وسیعی از کشور دچار کمبارشی بوده ولی در ۱۹۸۸ فقط در بخش کوچکی از جنوب شرق و مرکز کشور کمبارشی، آن هم با شدت کم، اتفاق افتاده است.

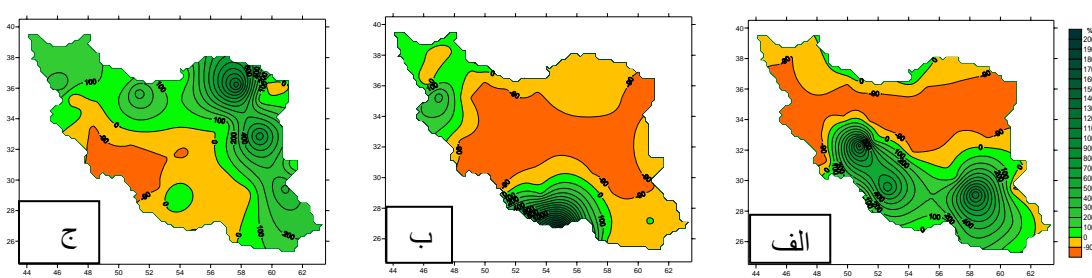
شکل ۷ توزیع بی‌هنجری بارش در فصل بهار در



شکل ۶. بی‌هنجری بارش فصل زمستان در مناطق گوناگون کشور در سال‌های: (الف) ۱۹۷۳، (ب) ۱۹۷۵ و (ج) ۱۹۸۸.



شکل ۷. مشابه شکل ۶ ولی برای فصل بهار.



شکل ۸. مشابه شکل ۶ ولی برای فصل تابستان.

موضوع به نوعی روند تغییرات در سال آبی را تداعی می‌کند. از این رو در این بخش، بی‌هنجاری‌های فصلی در سال‌های آبی معادل سال‌های میلادی فوق نیز بررسی می‌شود.

الف) سال‌های النینو

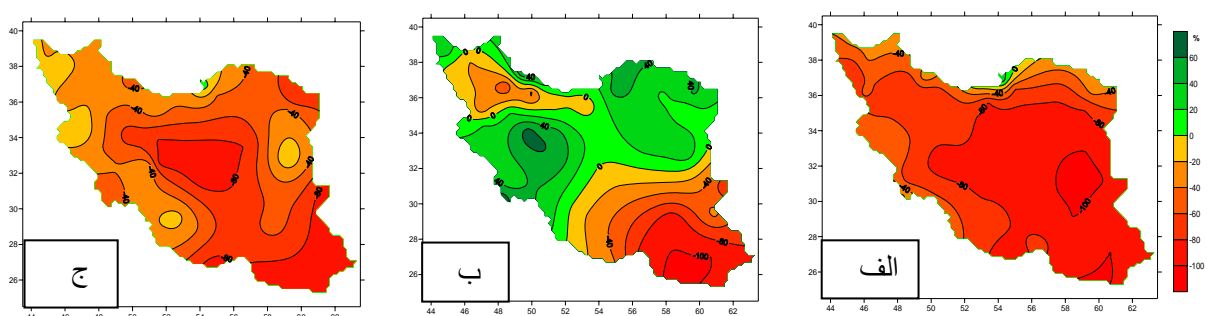
بی‌هنجاری بارش فصلی در پاییز سال‌های النینو (۱۹۷۲، ۱۹۸۲ و ۱۹۹۷) در شکل ۵ آورده شد و مورد بررسی قرار گرفت. ادامه این بی‌هنجاری‌ها که مربوط به زمستان سال میلادی بعدی است (سال‌های ۱۹۷۳، ۱۹۸۳ و ۱۹۹۸)، در شکل ۱۰ آورده شده است. با توجه به شکل مشاهده می‌شود که در زمستان سال‌های ۱۹۷۳ و ۱۹۸۳، با آنکه شاخص نینوی اقیانوسی مقادیر مثبت بالایی داشته است، کم‌بارشی فراگیر در کشور رخ داده است.

در شکل ۱۱ بی‌هنجاری بارش فصل بهار در سال‌های ۱۹۷۳، ۱۹۸۳ و ۱۹۹۸ نشان داده شده است. در بین این سه سال، در بهار ۱۹۸۳ همچنان شاهد شرایط النینو، البته با شدت کمتر، بوده‌ایم ولی در بهار دو سال دیگر شرایط از این فاز خارج شده است. نکته دیگر آن که در این فصل، هیچ الگوی مشابهی دیده نمی‌شود. در بی‌هنجاری بارش فصل تابستان در سال‌های فوق نیز الگوی مشابهی به چشم نمی‌خورد (شکل ۱۲).

شکل ۹ نشان‌دهنده توزیع بی‌هنجاری بارش در فصل پاییز برای سه سال لاتینا است. با توجه به شکل، بی‌هنجاری بارش مشابهی در جنوب شرق کشور در هر سه سال دیده می‌شود. در ۱۹۷۵ که ضعیف‌ترین لاتینا در بین سه مورد رخ داده است، به جز جنوب شرق کشور، در دیگر نقاط، میزان بارش در حد هنجار یا بالاتر است. شدیدترین و گستردترین کمبارشی مربوط به قوی‌ترین لاتینا یعنی ۱۹۷۳ است. نتیجه‌ای که می‌توان از مقایسه توزیع بارش فصلی در سال‌های النینو و لاتینای مورد بررسی گرفت، نبود الگو و روند خاص در بی‌هنجاری‌های بارش کشور در این سال‌ها است که با نتایج ناظم السادات و کوردری (۲۰۰۰a، b) و پاگانو و همکاران (۲۰۰۳) تفاوت دارد.

۲-۲-۳ سال آبی

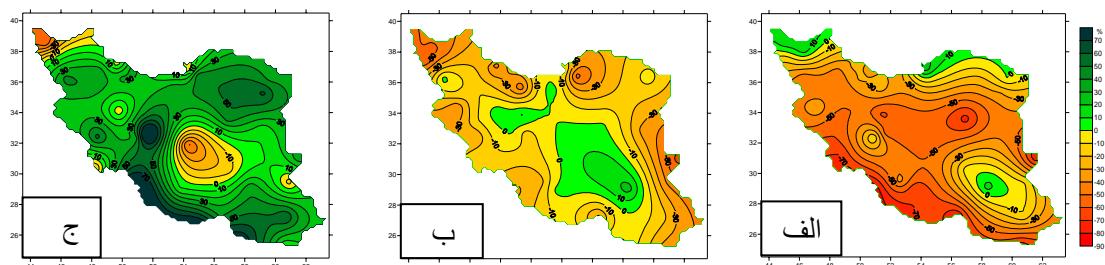
تغییرات شاخص نینوی اقیانوسی براساس میانگین متحرک سه‌ماهه (برای جزئیات بیشتر به بخش ۲-۲ مراجعه شود) در جدول ۲ آورده شده است. با توجه به تغییرات مطرح شده در جدول که نشانگر تغییرات دمای سطح دریا در سال‌های متفاوت فعالیت انسو است، مشاهده می‌شود که بی‌هنجاری‌های دمای سطح دریا در هر سال میلادی، به‌طور مشابه، تا بخشی از سال بعد ادامه داشته است. این



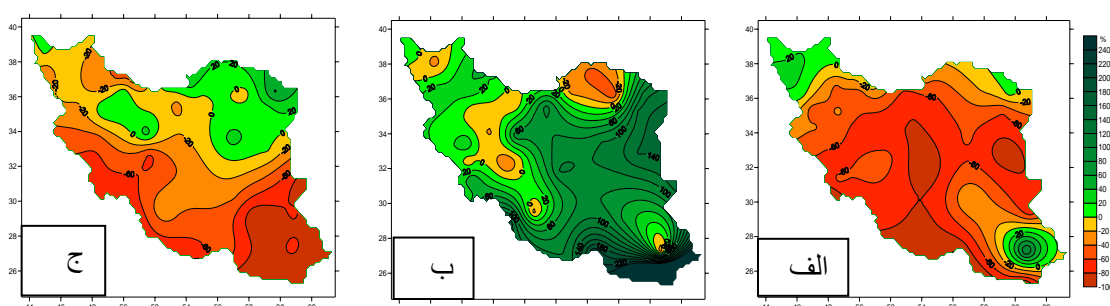
شکل ۹. مشابه شکل ۶ ولی برای فصل پاییز.

جدول ۲. تغییرات شاخص نینوی اقیانوسی براساس میانگین متحرک سهماهه؛ (دُزف) معرف ماههای دسامبر، ژانویه و فوریه، (ژفم) معرف ماههای ژانویه، فوریه، مارس و ... هستند.

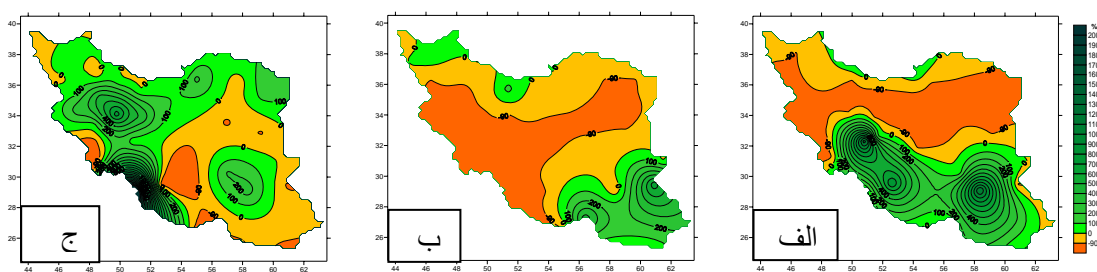
ردیف	سال	دُزف	ژفم	فما	مام	آمز	مژج	ژجا	اسا	سان	اند	ندژ
۱	۱۹۷۲	-۰۷	-۰۳	-۰۰	-۰۳	-۰۵	-۰۰	-۰۱	-۰۱	-۰۱	-۰۰	۲۱
۲	۱۹۷۳	۱۸	۱۲	۰۵	-۰۱	-۰۵	-۰۰	-۰۱	-۰۱	-۰۱	-۰۰	-۱۹
۳	۱۹۷۴	۱۸	-۱۶	-۰۱	-۰۹	-۰۷	-۰۰	-۰۵	-۰۵	-۰۷	-۰۰	-۰۷
۴	۱۹۷۵	-۰۶	-۰۶	-۰۰	-۰۸	-۰۱	-۰۱	-۰۳	-۰۶	-۰۷	-۰۰	-۱۸
۵	۱۹۷۶	-۱۶	-۰۲	-۰۰	-۰۹	-۰۷	-۰۰	-۰۵	-۰۵	-۰۷	-۰۰	-۰۸
۶	۱۹۷۹	-۰۰	-۰۰	-۰۰	-۰۲	-۰۰	-۰۰	-۰۰	-۰۰	-۰۰	-۰۰	-۰۵
۷	۱۹۸۰	-۰۵	-۰۳	-۰۰	-۰۲	-۰۰	-۰۰	-۰۰	-۰۰	-۰۰	-۰۰	-۰۰
۸	۱۹۸۱	-۰۰	-۰۴	-۰۰	-۰۰	-۰۰	-۰۰	-۰۰	-۰۰	-۰۰	-۰۰	-۰۰
۹	۱۹۸۲	-۰۰	-۰۰	-۰۰	-۰۰	-۰۰	-۰۰	-۰۰	-۰۰	-۰۰	-۰۰	-۰۰
۱۰	۱۹۸۳	-۰۳	-۰۰	-۰۰	-۰۰	-۰۰	-۰۰	-۰۰	-۰۰	-۰۰	-۰۰	-۰۰
۱۱	۱۹۸۵	-۰۱	-۰۰	-۰۰	-۰۰	-۰۰	-۰۰	-۰۰	-۰۰	-۰۰	-۰۰	-۰۰
۱۴	۱۹۹۷	-۰۰	-۰۰	-۰۰	-۰۰	-۰۰	-۰۰	-۰۰	-۰۰	-۰۰	-۰۰	-۰۰
۱۵	۱۹۹۸	-۰۴	-۰۰	-۰۰	-۰۰	-۰۰	-۰۰	-۰۰	-۰۰	-۰۰	-۰۰	-۰۰



شکل ۱۰. بیهودگی بارش فصل زمستان در مناطق گوناگون کشور در سال‌های: (الف) ۱۹۷۳، (ب) ۱۹۸۳ و (ج) ۱۹۹۸.



شکل ۱۱. مشابه شکل ۱۰ ولی برای فصل بهار.

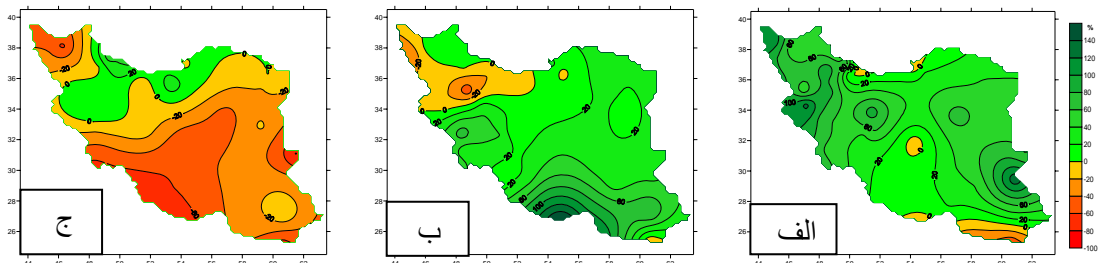


شکل ۱۲. مشابه شکل ۱۰ ولی برای فصل تابستان.

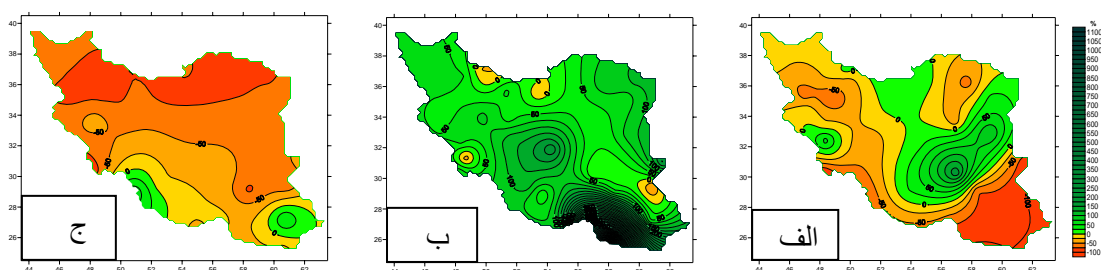
نمی‌کند. در زمستان ۱۹۸۹ که در این سال لاتینای قوی‌تری نسبت به دو سال دیگر وجود داشته است، بخش گستردگی از کشور خشک بوده و حال آنکه در دو سال دیگر میزان بارش در حد هنگار یا بیشتر بوده است. در شکل ۱۴ بی‌هنگاری بارش فصل بهار در سال‌های ۱۹۷۴، ۱۹۷۶ و ۱۹۸۹ نشان داده شده است. مطابق شکل، در بهار سال‌های ۱۹۷۴ و ۱۹۸۹ کم‌بارشی گستردگی در سطح کشور وجود داشته است. اما برخلاف این دو سال، در بهار ۱۹۷۶ بارش به صورت چشم‌گیری بیشتر از هنگار بوده است.

ب) سال‌های لاتینا

بی‌هنگاری بارش فصلی در پاییز سال‌های لاتینا (۱۹۷۳، ۱۹۷۵ و ۱۹۸۸) در شکل ۹ آورده شد و مورد بررسی قرار گرفت. ادامه این بی‌هنگاری‌ها که مربوط به زمستان سال میلادی بعدی است (سال‌های ۱۹۷۴، ۱۹۷۶ و ۱۹۸۹)، در شکل ۱۳ آورده شده است. با توجه به جدول ۲، هر سه سال در این فصل همچنان دارای شرایط لاتینا بوده‌اند. با آنکه شاخص نینوی اقیانوسی حاکی از وجود شرایط همگن در اقیانوس آرام حاره‌ای است، اما بی‌هنگاری‌های بارش ایران در این فصل، از آهنگ خاصی تبعیت



شکل ۱۳. بی‌هنگاری بارش فصل زمستان در مناطق گوناگون کشور در سال‌های: (الف) ۱۹۷۴، (ب) ۱۹۷۶ و (ج) ۱۹۸۹.



شکل ۱۴. مشابه شکل ۱۳ ولی برای فصل بهار.

سطح دریا در فصل زمستان ۱۹۷۳، کم بارشی شدید بیش از ۵۰ میلی متر وجود دارد. از سوی دیگر با تغییر دمای اندک سطح دریا در زمستان سال های ۱۹۷۲ و ۱۹۸۲ پر بارشی بیش از ۵۰ میلی متر نسبت به نرمال در کشور رخ داده است. با توجه به شکل، کم بارشی ضعیفی در زمستان ۱۹۹۷ در کشور دیده می شود، حال آنکه مطابق شکل ۳ بخش بزرگی از کشور در زمستان این سال با کم بارشی مواجه بوده است.

شکل ۱۷ نمودار بی هنجاری های بارش فصل بهار کل کشور و ONI، مربوط به شش فاز انسو را نشان می دهد. در این شکل همخوانی بین تغییرات دمای سطح دریا و تعريف سال های الینو و لانینا دیده می شود. نکته حائز اهمیت بی هنجاری های در حد نرمال بارش در سال های ۱۹۸۸، ۱۹۹۷ و غیر هم فاز بودن بی هنجاری بارش و ONI در سال ۱۹۷۵ است.

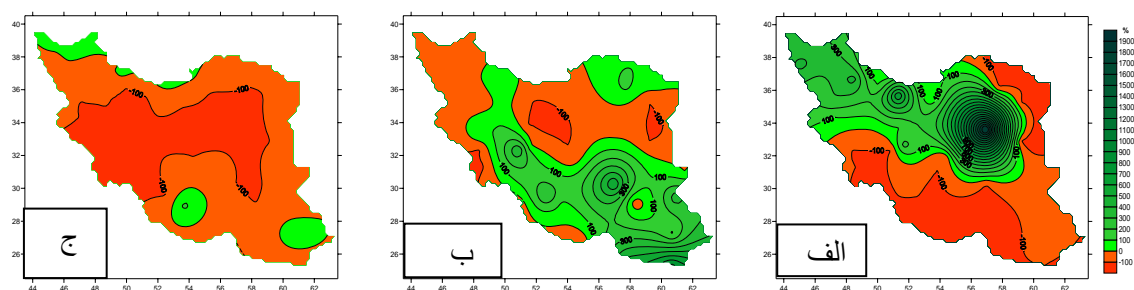
نمودار بی هنجاری های بارش فصل تابستان و ONI در شکل ۱۸ آورده شده است. در این فصل نیز همخوانی کامل بین تغییرات دمای سطح دریا و شرط لازم برای الینو و لانینا وجود داشته است و بی هنجاری ONI مقادیر نسبتا بالایی دارد. اگرچه بارش های تابستانی درصد اندکی از بارش های سالانه کشور را تشکیل می دهند، اما در پنج مورد از شش مورد انتخابی، بی هنجاری های بارش و ONI در فاز مخالف قرار دارند.

شکل ۱۵ بی هنجاری بارش فصل تابستان در سال های فوق را نشان می دهد. با توجه به جدول ۲ مشاهده می شود که در تابستان این سال ها، انسو تقریبا در شرایط خنثی قرار داشته است. مانند موارد دیگر، بی هنجاری بارش در این فصل از سال های مورد بررسی، متفاوت بوده و حتی در بعضی مناطق الگوی متضاد به چشم می خورد.

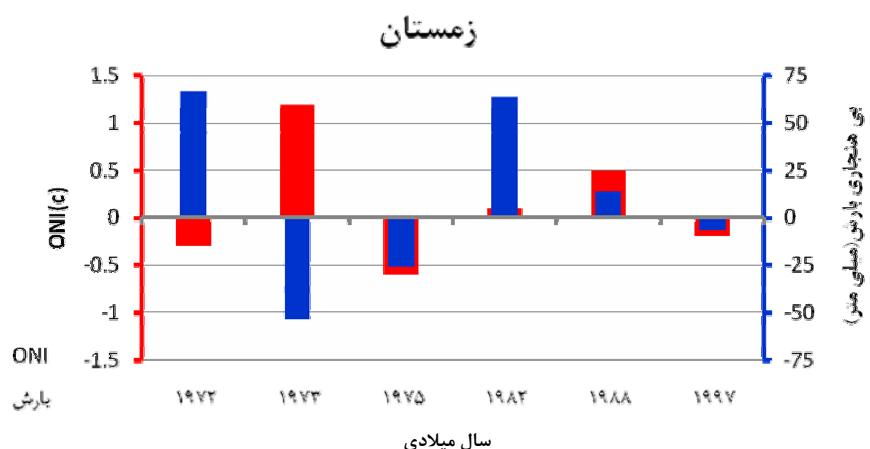
۳-۳ مقایسه بی هنجاری بارش فصلی و شاخص نینوی اقیانوسی

برای آنکه نتایج بخش قبل به صورت کمی نشان داده شود، در این بخش بی هنجاری های بارش فصلی کل کشور و شاخص نینوی اقیانوسی (ONI) در شش فاز گرم و سرد انسو، برای سال های خورشیدی و آبی مورد مقایسه قرار می گیرد. در شکل ۱۶ نمودار بی هنجاری های بارش فصل زمستان کل کشور (محور قائم سمت راست) و ONI (محور قائم سمت چپ)، مربوط به شش فاز انسو، بر حسب سال های خورشیدی آورده شده است.

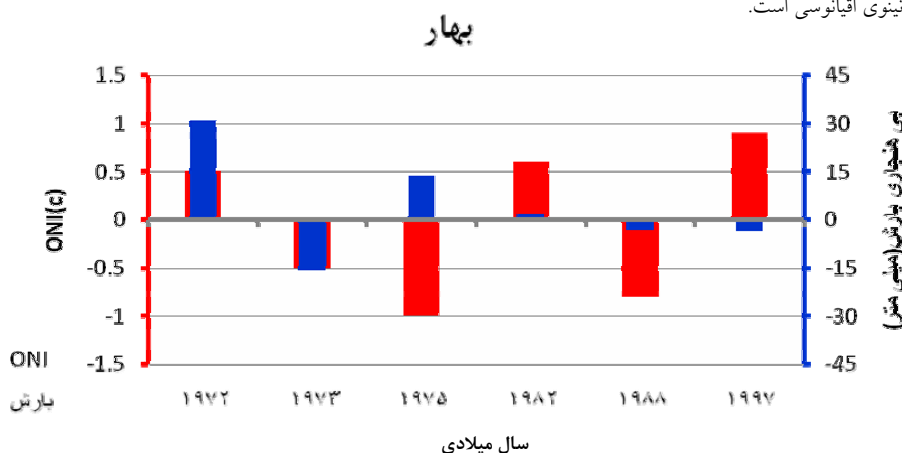
چندین نکته قابل توجه در شکل ۱۶ به چشم می خورد. با آنکه سال های ۱۹۷۳ و ۱۹۸۸ سال های لانینا است، ولی شاهد بی هنجاری شدید مثبت دمای سطح دریا، به ترتیب بیش از ۱ درجه و ۵۰ درجه سلسیوس، در فصل زمستان هستیم؛ و یا در سال های الینوی ۱۹۷۲ و ۱۹۹۷ بی هنجاری منفی دمای سطح دریا دیده می شود. همرا با افزایش دمای



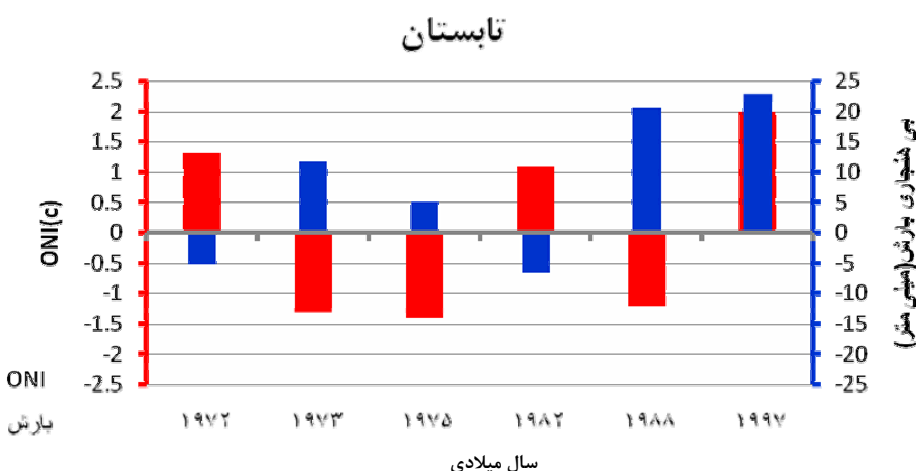
شکل ۱۵. مشابه شکل ۱۳ ولی برای فصل تابستان.



شکل ۱۶. نمودار بی‌هنگاری بارش کشور در فصل زمستان (محور قائم سمت راست، بر حسب میلی‌متر) و شاخص نینوی اقیانوسی (محور قائم سمت چپ، بر حسب دمای سلسیوس) برای شش فاز گرم و سرد انسو بر حسب سال خورشیدی (میلادی). رنگ آبی معرف بی‌هنگاری بارش و رنگ سرخ معرف شاخص نینوی اقیانوسی است.



شکل ۱۷. مانند شکل ۱۶ ولی برای فصل بهار.



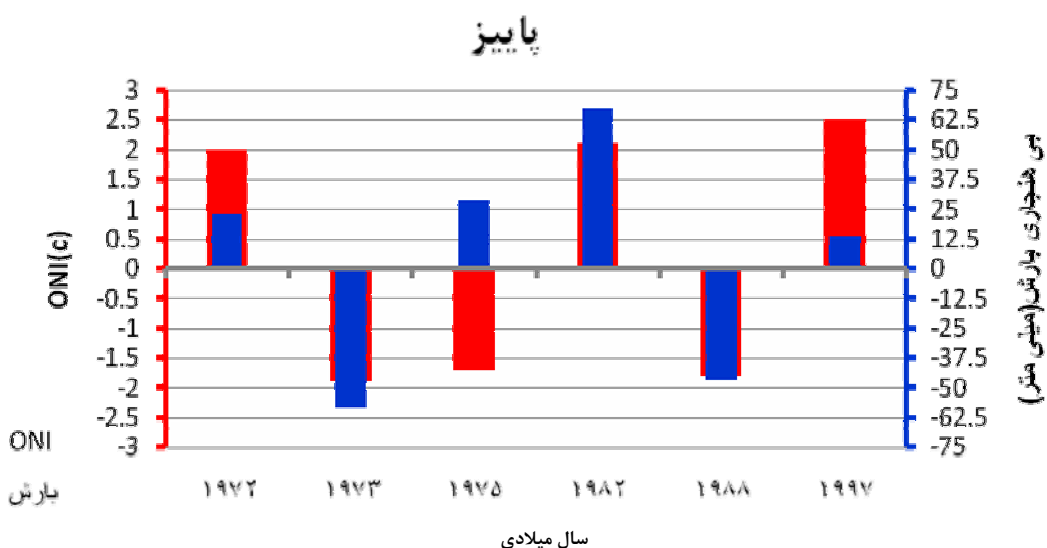
شکل ۱۸. مانند شکل ۱۶ ولی برای فصل تابستان.

بعد سال‌های الینو و لاینیا مورد بررسی هستند. برای مثال، شکل ۲۰ ادامه شکل ۱۹ است. با توجه به شکل ۲۰، با آنکه از میزان بی‌هنگاری‌های دما نسبت به پاییز (شکل ۱۹) کاسته شده است، اما همچنان این مقادیر در محدوده تعريف الینو و لاینیا هستند و ادامه روند پاییز است. نکته دیگر آنکه در چهار مورد از شش مورد، بی‌هنگاری‌های بارش و ONI در فاز مخالف قرار دارند.

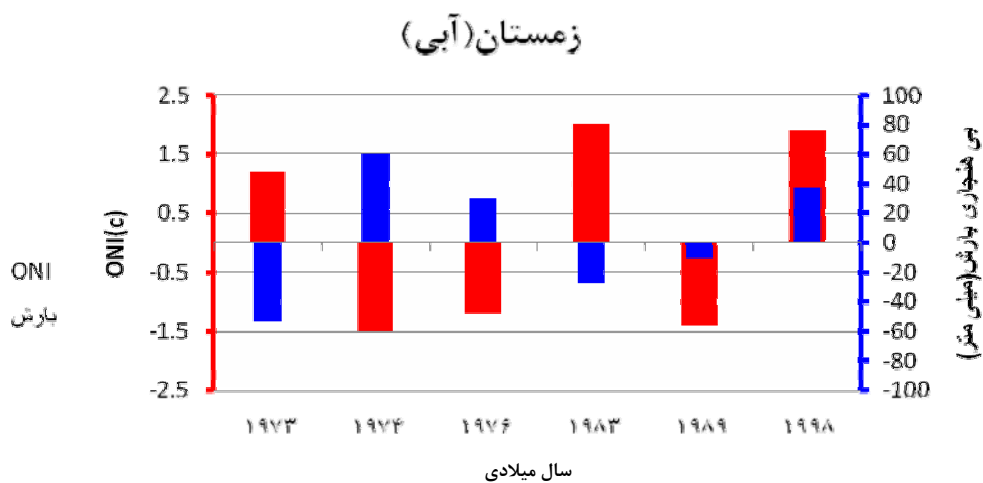
در شکل ۲۱ نمودار بی‌هنگاری‌های بارش فصل بهار سال آبی و ONI آورده شده است. با توجه به شکل، به تدریج بی‌هنگاری‌های دما کاهش یافته است و با خارج شدن از محدوده تعريف الینو و لاینیا، حتی تغییر علامت می‌دهد. برای نمونه، در بهار ۱۹۷۳ بی‌هنگاری دمای منفی به جای مثبت دیده می‌شود. در سال‌های ۱۹۷۶ و ۱۹۹۸ نیز بی‌هنگاری‌های بارش و ONI در فاز مخالف قرار دارند. نکته دیگر متفاوت بودن میزان بی‌هنگاری بارش در سال‌های لاینیا ۱۹۷۴ و ۱۹۸۹ است. با آنکه لاینیا ۱۹۷۴ قوی‌تر از ۱۹۸۹ است، ولی بی‌هنگاری بارش آن بسیار کمتر است.

در شکل ۱۹ نمودار بی‌هنگاری‌های بارش فصل پاییز و ONI نشان داده شده است. تغییرات دمای سطح دریای مشاهده شده در این فصل، کاملاً در محدوده تعريف الینو و لاینیا قرار دارد و دارای مقادیر زیادی است. نکته قابل توجه غیرهم‌فاز بودن بی‌هنگاری بارش و ONI در ۱۹۷۵ و متفاوت بودن میزان بی‌هنگاری بارش در سال‌های متفاوت الینو و لاینیا است. برای نمونه، در ۱۹۹۷ که الینو شدیدتری نسبت به ۱۹۸۲ رخ داده، بی‌هنگاری بارش آن بسیار ضعیف و در حد نرمال است و حال آنکه در ۱۹۸۲ پربارشی شدید به چشم می‌خورد. با توجه به این شکل، بارش در حد نرمال در پاییز ۱۹۷۲ دیده می‌شود، ولی توزیع بارش شکل ۵ حاکی از وجود فصلی خشک در بخش بزرگی از کشور است.

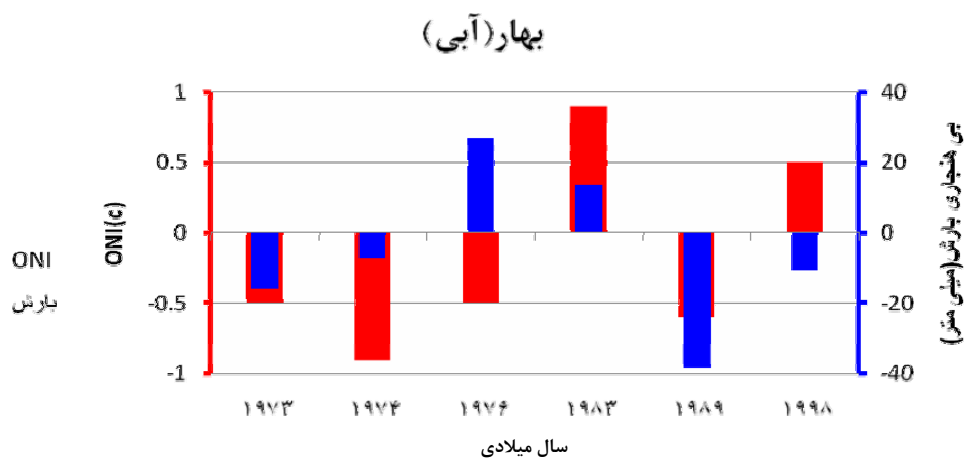
شکل ۲۰ نمودار بی‌هنگاری‌های بارش فصل زمستان سال آبی و ONI، برای شش فاز انسو را نشان می‌دهد. باید توجه داشت که فصل پاییز اولین فصل سال آبی است و جزء سال قبل میلادی در نظر گرفته می‌شود. در نتیجه سه فصل دیگر که در ادامه تحلیل می‌شوند، مربوط به سال



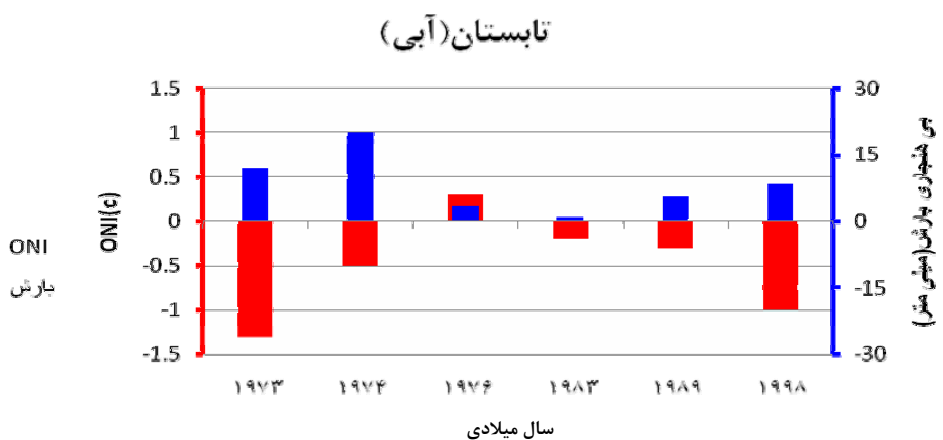
شکل ۱۹. مانند شکل ۱۶ ولی برای فصل پاییز.



شکل ۲۰. مانند شکل ۱۶ ولی برای فصل زمستان سال آبی.



شکل ۲۱. مانند شکل ۱۶ ولی برای فصل بهار سال آبی.



شکل ۲۲. مانند شکل ۱۶ ولی برای فصل تابستان سال آبی.

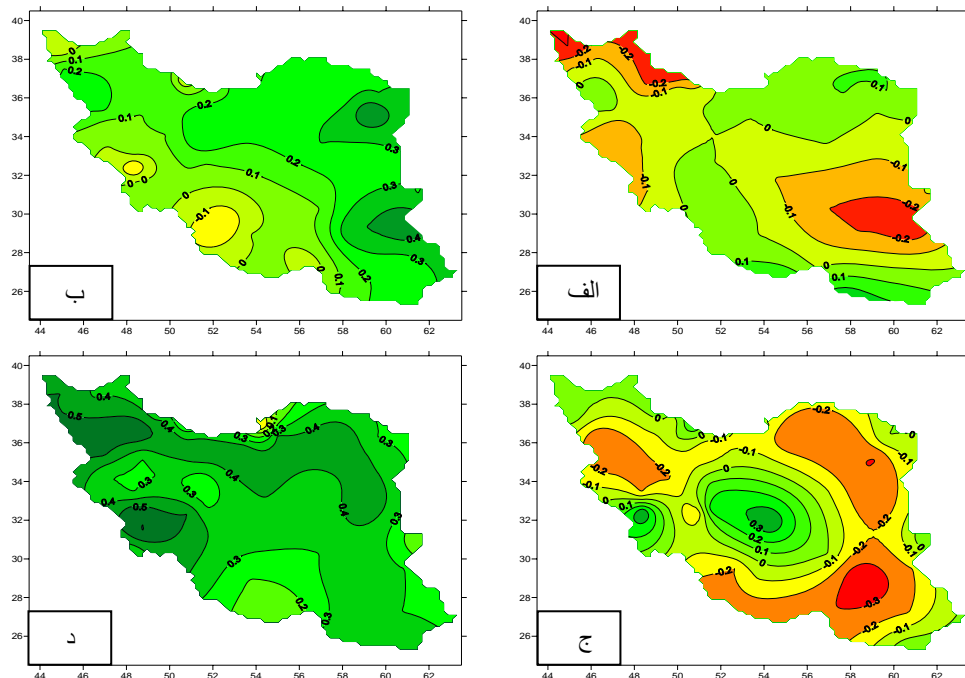
این ضریب، معیاری عددی برای بیان وجود رابطه بین دو متغیر X و Y است که در آن (X_1, Y_1) تا (X_n, Y_n) زوج‌های مرتب داده‌های دیدبانی شده دمای سطح دریا در منطقه اقیانوس آرام حاره‌ای و بارش فصلی ایستگاه‌های پیش‌گفته در دوره سی‌ساله هستند. مقادیر r بین -1 و 1 است؛ به این معنی که اگر ارتباط بین دو کمیت کامل باشد، ضریب همبستگی آن دو کمیت، یکی از این دو عدد خواهد بود. البته در $r=1$ نقاط زوج‌های مرتب در امتداد یک خط راست با شیب مثبت و در $r=-1$ با شیب منفی توزیع می‌شوند. هرچه مقدار r به مقادیر حدی یاد شده نزدیک‌تر باشد، فشردگی توزیع نقاط زوج‌های مرتب در اطراف یک خط راست بیشتر خواهد بود و هرچه مقدار r به صفر نزدیک‌تر شود به همان میزان ارتباط خطی بین دو کمیت ضعیف‌تر می‌شود. در $r=0$ هیچ‌گونه ارتباط خطی بین دو کمیت وجود ندارد.

نمودار بی‌هنجری‌های بارش فصل تابستان سال آبی ONI در شکل ۲۲ نشان داده شده است. در این شکل تغییر قابل توجهی در علامت و میزان بی‌هنجری‌های دما، نسبت به پاییز و زمستان، دیده می‌شود. در سال‌های ۱۹۷۳ و ۱۹۹۸ به جای بی‌هنجری مثبت دما، بی‌هنجری منفی مشاهده شده و در دیگر سال‌ها، مقادیر بی‌هنجری‌های دما کاهش بسیار یافته است.

۴-۳ ضریب همبستگی

در ادامه پژوهش، برای بررسی میزان همبستگی بین شاخص نینوی اقیانوسی و بارش فصلی در ۴۳ ایستگاه همدیدی کشور، ضریب همبستگی به روش گشتاور حاصل ضرب پیرسن در دوره ۱۹۷۱-۲۰۰۰ محاسبه و نتایج آن در شکل ۲۳ آورده شده است.

$$r = \frac{\sum_{i=1}^n (X_i - \bar{X})(Y_i - \bar{Y})}{\sqrt{\left[\sum_{i=1}^n (X_i - \bar{X})^2 \right] \left[\sum_{i=1}^n (Y_i - \bar{Y})^2 \right]}}$$



شکل ۲۳. میدان ضریب همبستگی بین شاخص نینوی اقیانوسی و بارش فصلی ۴۳ ایستگاه همدیدی کشور در دوره ۱۹۷۱-۲۰۰۰ برای فصل‌های: (الف) زمستان، (ب) بهار، (ج) تابستان و (د) پاییز. محورهای افقی و قائم به ترتیب طول و عرض جغرافیایی را نشان می‌دهند.

اقیانوسی (هم از نظر علامت و هم از نظر شدت) در این فازها و همچنین میزان همبستگی بین شاخص نینوی اقیانوسی و بارش فصلی ۴۳ ایستگاه همدیدی کشور در دوره سی‌ساله، مورد بررسی قرار گرفته است.

نتایج بررسی توزیع بی‌هنگاری بارش فصلی مناطق گوناگون کشور در فازهای گرم (شکل‌های ۲ تا ۵) و سرد (شکل‌های ۶ تا ۹) انسو نشان می‌دهد که در هیچ‌یک از فازها، توزیع فصلی بارش از روندی خاص تعیت نمی‌کند و در هریک از دو فاز، الگوهای متفاوت و حتی مخالف دیده می‌شود. این نتیجه هم در سال‌های خورشیدی و هم سال‌های آبی مشهود است (شکل‌های ۱۰ تا ۱۵).

مقایسه بی‌هنگاری‌های بارش فصلی کل کشور و شاخص نینوی اقیانوسی نیز حاکی از متفاوت بودن چگونگی تغییرات و شدت آنها است. برای نمونه، با آنکه سال‌های ۱۹۷۳ و ۱۹۸۸ سال‌های لانینا است (شکل ۱۶)، ولی شاهد بی‌هنگاری شدید مثبت دمای سطح دریا در فصل زمستان هستیم؛ و یا در سال‌های النینو ۱۹۷۲ و ۱۹۹۷ بی‌هنگاری منفی دمای سطح دریا دیده می‌شود. از سوی دیگر با افزایش دمای سطح دریا در فصل زمستان ۱۹۷۳، کم‌بارشی شدید بیش از ۵۰ میلی‌متر وجود داشته و یا با تغییر دمای اندک سطح دریا در زمستان سال‌های ۱۹۷۲ و ۱۹۸۲، پربارشی بیش از ۵۰ میلی‌متر نسبت به نرمال در کشور رخ داده است (شکل ۱۶). نکته حائز اهمیت در نمودار مربوط به فصل بهار (شکل ۱۷)، وجود بی‌هنگاری‌های در حد نرمال بارش در سال‌های النینو ۱۹۸۲ و ۱۹۸۸ و سال لانینای ۱۹۹۷ و همچنین غیرهم‌فاز بودن بی‌هنگاری بارش و ONI در سال ۱۹۷۵ است. در نمودار بی‌هنگاری‌های بارش فصل بهار و ONI (شکل ۱۸) نیز مشاهده می‌شود که در پنج مورد از شش مورد انتخابی، بی‌هنگاری‌های بارش و ONI در فاز مخالف قرار دارند. در نمودار مربوط به فصل پاییز (شکل ۱۹)، اگرچه تغییرات دمای سطح دریا در این فصل کاملاً در محدوده تعریف

شکل ۲۳-الف توزیع ضریب همبستگی بین بارش زمستانی ایستگاه‌های متفاوت و شاخص نینوی اقیانوسی را نشان می‌دهد. طبق این شکل، بیشترین همبستگی خطی بین بارش‌های شرق و شمال غرب کشور با مقداری کمتر از ۳۰° با شبیه منفی دیده می‌شود. برای فصل بهار (شکل ۲۳-ب)، بیشترین مقدار همبستگی به مناطقی محدود در شرق کشور با مقدار ۴۰° و شبیه مثبت اختصاص دارد. بارش‌های تابستانی نیز همبستگی بسیار کمی با شاخص نینوی اقیانوسی نشان می‌دهد (شکل ۲۳-ج). بالاترین مقادیر ضریب همبستگی مربوط به فصل پاییز است و در مناطق غرب کشور واقع است (شکل ۲۳-د) که دارای مقداری بیش از ۵۰° با شبیه مثبت است. با توجه به این شکل‌ها نتیجه می‌شود که در مجموع ارتباط خطی قوی بین دمای سطح آب دریا در منطقه اقیانوس آرام حاره‌ای و بارش‌های فصلی ایران وجود ندارد. به بیان دیگر فقط با اتکا به شاخص نینوی اقیانوسی نمی‌توان بی‌هنگاری بارش فصلی ایران را پیش‌بینی کرد.

۴ نتیجه‌گیری

در این مقاله ارتباط احتمالی بین پدیده انسو و بارش‌های فصلی ایران از راه بررسی بی‌هنگاری توزیع بارش در فازهای متفاوت فعالیت انسو در دوره ۱۹۷۱-۲۰۰۰ بررسی شده است. در این راستا، شش نمونه از شدیدترین سال‌های فعالیت انسو در دوره فوق، سه النینو و سه لانینا، با استفاده از داده‌های مرکز نوا (NOAA) انتخاب و بررسی‌ها برای آن سال‌ها صورت گرفته است. از آنجا که معمولاً موضوع خشک‌سالی و ترسالی مناطق کشور در طی یک سال آبی در نظر گرفته می‌شود، این بررسی هم بر حسب سال خورشیدی و هم بر حسب سال آبی صورت گرفته است. علاوه بر بررسی توزیع بی‌هنگاری بارش فصلی مناطق گوناگون کشور در فازهای گرم و سرد انسو، ارتباط بین بی‌هنگاری بارش فصلی کل کشور و شاخص نینوی

کیم ۲۰۰۷) باشد. از این رو برای توضیح و امکان پیش‌بینی بی‌هنگاری‌های بارش فصلی در کشور، نیاز به بررسی‌های جامع دینامیکی از همه عوامل تاثیرگذار و سازوکار آنها است.

منابع

- غیور، ح. و خسروی، م.، ۱۳۸۰، تاثیر پدیده انسو بر نابهنهنگاری‌های بارش تابستانی و پاییزی منطقه جنوب شرق ایران. مجله تحقیقات جغرافیایی، شماره ۱۶، ۱۴۱-۱۷۴.
- قوی‌دل رحیمی، م.، ۱۳۸۴، اثر الگوی بزرگ‌مقیاسی گردش جوی - اقیانوسی «انسو» بر تغییرپذیری فصلی اقلیم در ایران: آثار «ال‌نینو» و «لانینا» بر تغییرپذیری بارش‌های بهاری در آذربایجان شرقی. مجله مدرس علوم انسانی، شماره ۹، ۱۱۷-۱۳۲.
- نظام السادات، م. ج.، ۱۳۸۵، ارزیابی تاثیر پدیده النینو - نوسان جنوبی (ENSO) بر آبدھی و خشک‌سالی (ترسالی) هیدرولوژیکی رودخانه‌های مهم استان فارس. مجله علوم کشاورزی ایران، شماره ۳۷، ۳۶۱-۳۶۹.

- Chambers, D. P., Tapley, B. D. and Stewart, R. H., 1999, Anomalous warming in the Indian Ocean coincident with El Niño, *J. Geophys. Res.*, **104**, 3035–3047.
- Deser, C., and Wallace, J. M., 1990, Large-scale atmospheric circulation features of warm and cold episodes in the tropical Pacific, *J. Climate*, **3**, 1254–1281.
- Enloe, J., O'Brien, J. J. and Smith, S. R., 2004, ENSO Impacts on peak wind gusts in the United States, *J. Climate*, **17**, 1728-1737.
- Hendon, H. H., 2003, Indonesian rainfall variability: Impacts of ENSO and local air-sea interaction, *J. Climate*, **16**, 1775-1790.
- Kadioğlu, M., Tulinay, Y. and Borhan, Y., 1999, Variability of Turkish precipitation compared to El Niño events, *Geophys. Res. Lett.*, **26**, 1597-1600.
- Lim, Y. K. and Kim, K. Y., 2007, ENSO Impact

النینو و لانینا واقع است، غیرهم‌فاز بودن بی‌هنگاری بارش و ONI در ۱۹۷۵ و اختلاف چشمگیر میزان بی‌هنگاری بارش در سال‌های متفاوت النینو و لانینا از نکات بارز است. نکته جالب و قابل توجهی که در نمودارهای بی‌هنگاری بارش فصلی و ONI (شکل‌های ۱۶ تا ۱۹) به چشم می‌خورد، متفاوت بودن تغییرات دمای سطح دریا، از نظر علامت و شدت، در فصل‌های متفاوت از سال‌های النینو و لانینا است. در فصل پاییز، میزان تغییرات دمای سطح دریا نسبت به دیگر فصول بیشتر است و در محدوده تعریف النینو و لانینا قرار دارد؛ حال آنکه کمترین تغییرات دما مربوط به فصل زمستان است و علامت آن نیز مخالف شرط النینو و لانینا است. موارد پیش‌گفته، با تغییراتی در نمودار بی‌هنگاری‌های بارش فصلی و ONI برای سال‌های آبی نیز دیده می‌شود (شکل‌های ۲۰ تا ۲۲).

وجود ضرایب همبستگی ضعیف (و بسیار ضعیف در بیشتر نقاط کشور) بین دمای سطح دریا در اقیانوس آرام حاره‌ای و بارش فصلی ۴۳ ایستگاه همدیدی کشور در دوره سی ساله نیز نشانگر همبستگی آماری ضعیف بین آنها است (شکل ۲۳).

نتایج بررسی‌های فوق نشان می‌دهد که توزیع بارش فصلی کشور در فازهای متفاوت انسو از روند و الگوی خاص تبعیت نمی‌کند و در هریک از دو فاز، الگوهای متفاوت دیده می‌شود. در سال‌های النینو (یا لانینای) بررسی شده، هم بی‌هنگاری بارش فصلی مثبت و هم بی‌هنگاری منفی بارش به چشم می‌خورد. به بیان دیگر فقط با تعیین فاز انسو نمی‌توان توزیع بی‌هنگاری بارش فصلی در کشور را، چه از نظر علامت و چه شدت، پیش‌بینی کرد. این نتیجه می‌تواند در اثر عوامل گوناگون از قبیل ناچز (یا ضعیف) بودن نقش انسو در بی‌هنگاری‌های بارش فصلی کشور (شکل ۲۳) و یا به‌ویژه برهم‌کش پیچیده این اثر با دیگر پدیده‌های بزرگ‌مقیاس جوی و اقیانوسی، مانند نوسان اطلس شمالی، نوسان مادن- جولین و مانسون (لیم و

- on the Space-Time Evolution of the Regional Asian Summer Monsoons. *J. Climate*, **20**, 2397-2415.
- Nazemosadat, M. J. and Cordery, I., 2000a, On the relationships between ENSO and autumn rainfall in Iran, *Int. J. Climatol.*, **20**, 47-62.
- Nazemosadat, M. J. and Cordery, I., 2000b, The impact of ENSO on winter rainfall in Iran. Proceeding of the 26th National and 3rd International Hydrology and Water Resources Symposium, Inst. Engs. Australia., 20-23 November 2000, Perth. 538-543.
- Nichol, J., 1997, Bioclimatic impacts of the 1994 smoke haze event in Southeast Asia, *Atmos. Environ.*, **31**, 1209-1219.
- Pagano, T. C., Mahani, S. H., Nazemosadat, M. J., and Sorooshian, S., 2003, Review of Middle Eastern Hydroclimatology and Seasonal teleconnections, *Iran J. Sci. technol.*, **27(B1)**, 95-109.
- Power, S., Haylock, M., Colman, R. and Wang, X., 2006, The Predictability of Interdecadal Changes in ENSO Activity and ENSO Teleconnections, *J. Climate*, **19**, 4755-4771.
- Rasmusson, E. M., and Carpenter, T. H., 1982, Variations in tropical sea surface temperature and surface wind fields associated with the Southern Oscillation/El Niño, *Mon. Weather Rev.*, **110**, 354-384.
- Rowell, D. P., 2001, Teleconnections between the tropical Pacific and the Sahel, *Q. J. Roy. Meteor. Soc.*, **127**, 1683-1706.
- Smith, S. R., Brolley, J., O'Brien, J. J., and Tartaglione, C. A., 2007, ENSO's Impact on Regional U.S. Hurricane activities, *J. Climate*, **20**, 1404-1414.
- Tartaglione, C. A., Smith, S. R., and O'Brien, J. J., 2003, ENSO impact on hurricane landfall probabilities for the Caribbean, *J. Climate*, **17**, 2925-2931.
- Wang, G. and Hendon, H. H., 2007, Sensitivity of Australian Rainfall to Inter-ELNino Variations, *J. Climate*, **20**, 4211-4226.